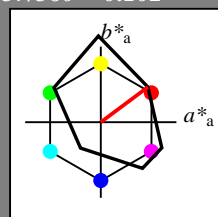


Eingabe: Farbmétrisches Drucker-Reflektiv-System FRS06

für Buntton  $h^* = lab^*h = 37/360 = 0.102$   
 $lab^*tch$  und  $lab^*nch$

D65: Buntton O  
 LCH\*Ma: 33 78 37  
 olv\*Ma: 1.0 0.0 0.0

Dreiecks-Helligkeit  $t^*$



%Umfang

$u^*_{rel} = 115$

%Regularität

$g^*_{H,rel} = 28$

$g^*_{C,rel} = 38$

FRS06; adaptierte CIELAB-Daten

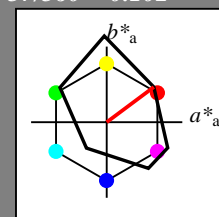
	$L^*=L^*_a$	$a^*_a$	$b^*_a$	$C^*_{ab,a}$	$h^*_{ab,a}$
O <sub>Ma</sub>	32.57	62.32	46.49	77.75	37
Y <sub>Ma</sub>	82.73	-3.16	113.99	114.03	92
L <sub>Ma</sub>	39.43	-61.79	45.84	76.95	143
C <sub>Ma</sub>	47.86	-26.79	-34.24	43.49	232
V <sub>Ma</sub>	10.16	55.12	-61.03	82.24	312
M <sub>Ma</sub>	34.5	80.68	-33.92	87.52	337
N <sub>Ma</sub>	6.25	0.0	0.0	0.0	0
W <sub>Ma</sub>	91.97	0.0	0.0	0.0	0
R <sub>CIE</sub>	39.92	59.8	31.05	67.38	27
J <sub>CIE</sub>	81.26	-2.52	76.25	76.29	92
G <sub>CIE</sub>	52.23	-41.56	17.14	44.96	158
B <sub>CIE</sub>	30.57	2.63	-43.77	43.86	273

Ausgabe: Farbmétrisches Drucker-Reflektiv-System FRS06

für Buntton  $h^* = lab^*h = 37/360 = 0.102$   
 $lab^*tch$  und  $lab^*nch$

D65: Buntton O  
 LCH\*Ma: 33 78 37  
 olv\*Ma: 1.0 0.0 0.0

Dreiecks-Helligkeit  $t^*$



%Umfang

$u^*_{rel} = 115$

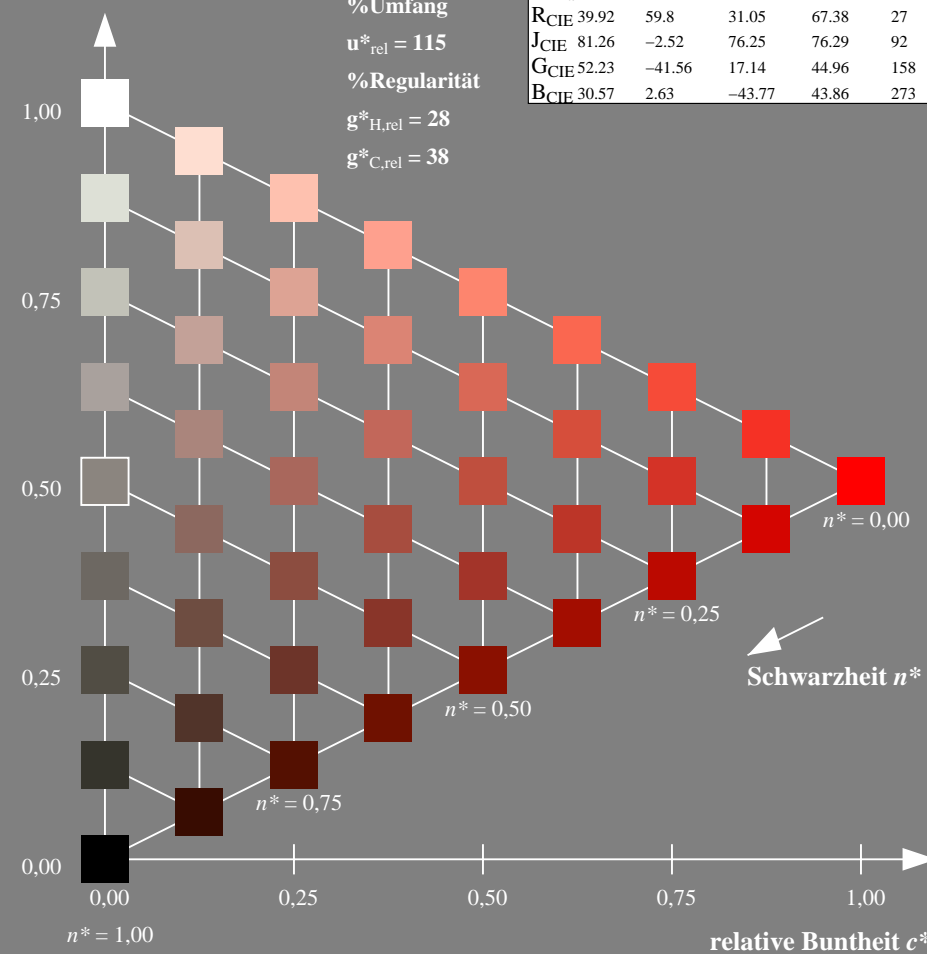
%Regularität

$g^*_{H,rel} = 28$

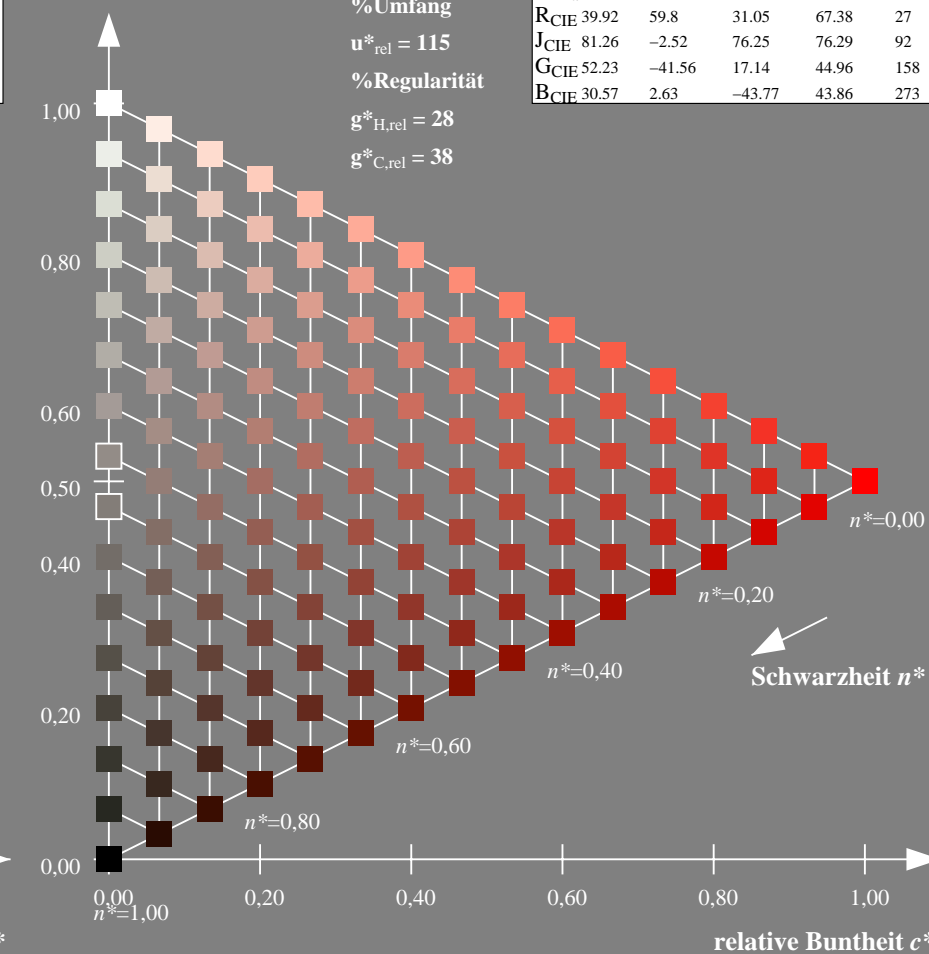
$g^*_{C,rel} = 38$

FRS06; adaptierte CIELAB-Daten

	$L^*=L^*_a$	$a^*_a$	$b^*_a$	$C^*_{ab,a}$	$h^*_{ab,a}$
O <sub>Ma</sub>	32.57	62.32	46.49	77.75	37
Y <sub>Ma</sub>	82.73	-3.16	113.99	114.03	92
L <sub>Ma</sub>	39.43	-61.79	45.84	76.95	143
C <sub>Ma</sub>	47.86	-26.79	-34.24	43.49	232
V <sub>Ma</sub>	10.16	55.12	-61.03	82.24	312
M <sub>Ma</sub>	34.5	80.68	-33.92	87.52	337
N <sub>Ma</sub>	6.25	0.0	0.0	0.0	0
W <sub>Ma</sub>	91.97	0.0	0.0	0.0	0
R <sub>CIE</sub>	39.92	59.8	31.05	67.38	27
J <sub>CIE</sub>	81.26	-2.52	76.25	76.29	92
G <sub>CIE</sub>	52.23	-41.56	17.14	44.96	158
B <sub>CIE</sub>	30.57	2.63	-43.77	43.86	273



XG670-7, 9stufige Reihen für konstanten CIELAB Buntton 37/360 = 0.102 (links)



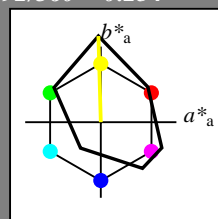
16stufige Reihen für konstanten CIELAB Buntton 37/360 = 0.102 (rechts)

Eingabe: Farbmétrisches Drucker-Reflektiv-System FRS06

für Buntton  $h^* = lab^*h = 92/360 = 0.254$   
 $lab^*tch$  und  $lab^*nch$

D65: Buntton Y  
 LCH\*Ma: 83 114 92  
 olv\*Ma: 1.0 1.0 0.0

Dreiecks-Helligkeit  $t^*$



%Umfang

$u^*_{rel} = 115$

%Regularität

$g^*_{H,rel} = 28$

$g^*_{C,rel} = 38$

FRS06; adaptierte CIELAB-Daten

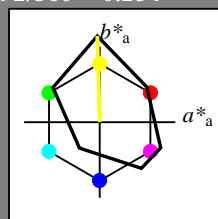
	$L^*=L^*_a$	$a^*_a$	$b^*_a$	$C^*_{ab,a}$	$h^*_{ab,a}$
O <sub>Ma</sub>	32.57	62.32	46.49	77.75	37
Y <sub>Ma</sub>	82.73	-3.16	113.99	114.03	92
L <sub>Ma</sub>	39.43	-61.79	45.84	76.95	143
C <sub>Ma</sub>	47.86	-26.79	-34.24	43.49	232
V <sub>Ma</sub>	10.16	55.12	-61.03	82.24	312
M <sub>Ma</sub>	34.5	80.68	-33.92	87.52	337
N <sub>Ma</sub>	6.25	0.0	0.0	0.0	0
W <sub>Ma</sub>	91.97	0.0	0.0	0.0	0
R <sub>CIE</sub>	39.92	59.8	31.05	67.38	27
J <sub>CIE</sub>	81.26	-2.52	76.25	76.29	92
G <sub>CIE</sub>	52.23	-41.56	17.14	44.96	158
B <sub>CIE</sub>	30.57	2.63	-43.77	43.86	273

Ausgabe: Farbmétrisches Drucker-Reflektiv-System FRS06

für Buntton  $h^* = lab^*h = 92/360 = 0.254$   
 $lab^*tch$  und  $lab^*nch$

D65: Buntton Y  
 LCH\*Ma: 83 114 92  
 olv\*Ma: 1.0 1.0 0.0

Dreiecks-Helligkeit  $t^*$



%Umfang

$u^*_{rel} = 115$

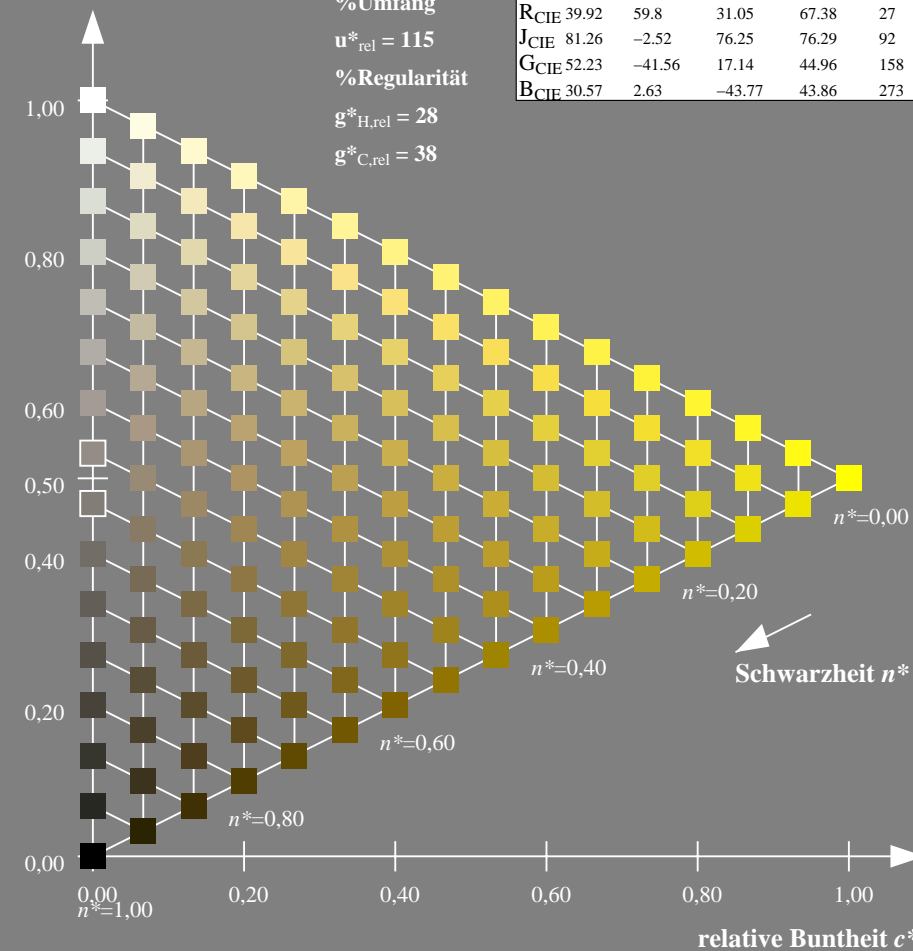
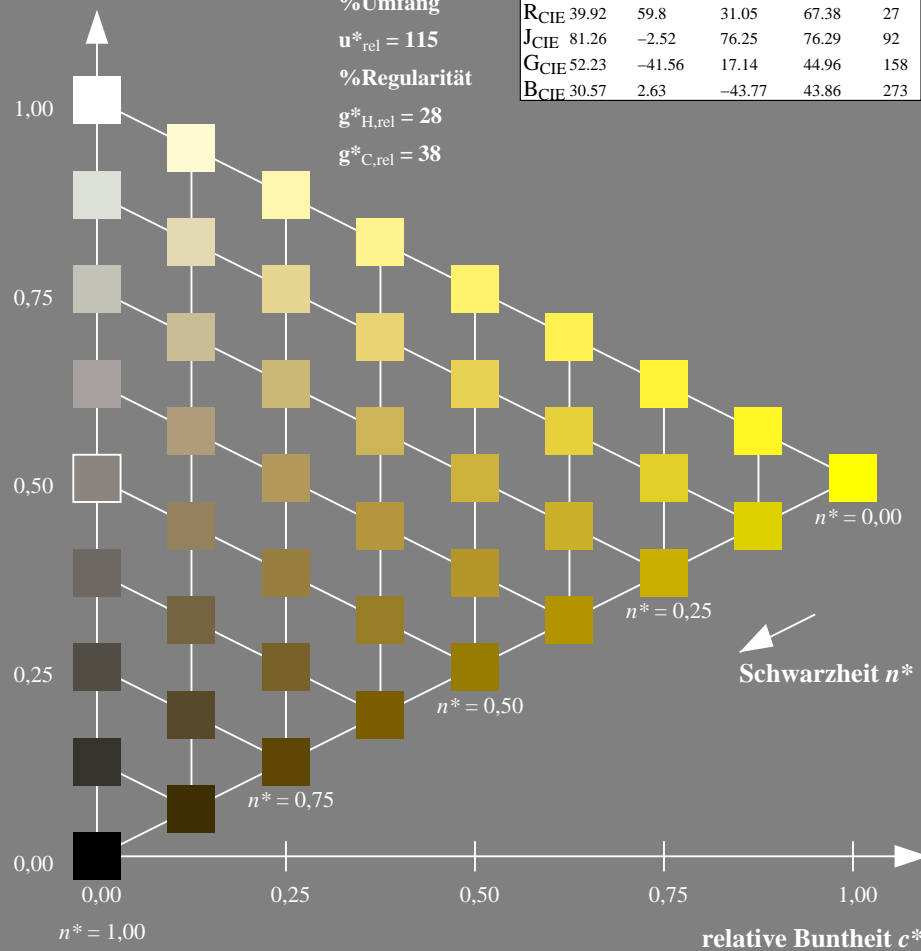
%Regularität

$g^*_{H,rel} = 28$

$g^*_{C,rel} = 38$

FRS06; adaptierte CIELAB-Daten

	$L^*=L^*_a$	$a^*_a$	$b^*_a$	$C^*_{ab,a}$	$h^*_{ab,a}$
O <sub>Ma</sub>	32.57	62.32	46.49	77.75	37
Y <sub>Ma</sub>	82.73	-3.16	113.99	114.03	92
L <sub>Ma</sub>	39.43	-61.79	45.84	76.95	143
C <sub>Ma</sub>	47.86	-26.79	-34.24	43.49	232
V <sub>Ma</sub>	10.16	55.12	-61.03	82.24	312
M <sub>Ma</sub>	34.5	80.68	-33.92	87.52	337
N <sub>Ma</sub>	6.25	0.0	0.0	0.0	0
W <sub>Ma</sub>	91.97	0.0	0.0	0.0	0
R <sub>CIE</sub>	39.92	59.8	31.05	67.38	27
J <sub>CIE</sub>	81.26	-2.52	76.25	76.29	92
G <sub>CIE</sub>	52.23	-41.56	17.14	44.96	158
B <sub>CIE</sub>	30.57	2.63	-43.77	43.86	273



XG670-7, 9stufige Reihen für konstanten CIELAB Buntton 92/360 = 0.254 (links)

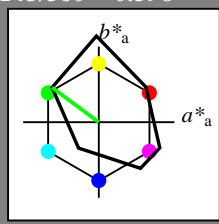
16stufige Reihen für konstanten CIELAB Buntton 92/360 = 0.254 (rechts)

Eingabe: Farbmétrisches Drucker-Reflektiv-System FRS06

für Buntton  $h^* = lab^*h = 143/360 = 0.398$   
 $lab^*tch$  und  $lab^*nch$

D65: Buntton L  
 LCH\*Ma: 39 77 143  
 olv\*Ma: 0.0 1.0 0.0

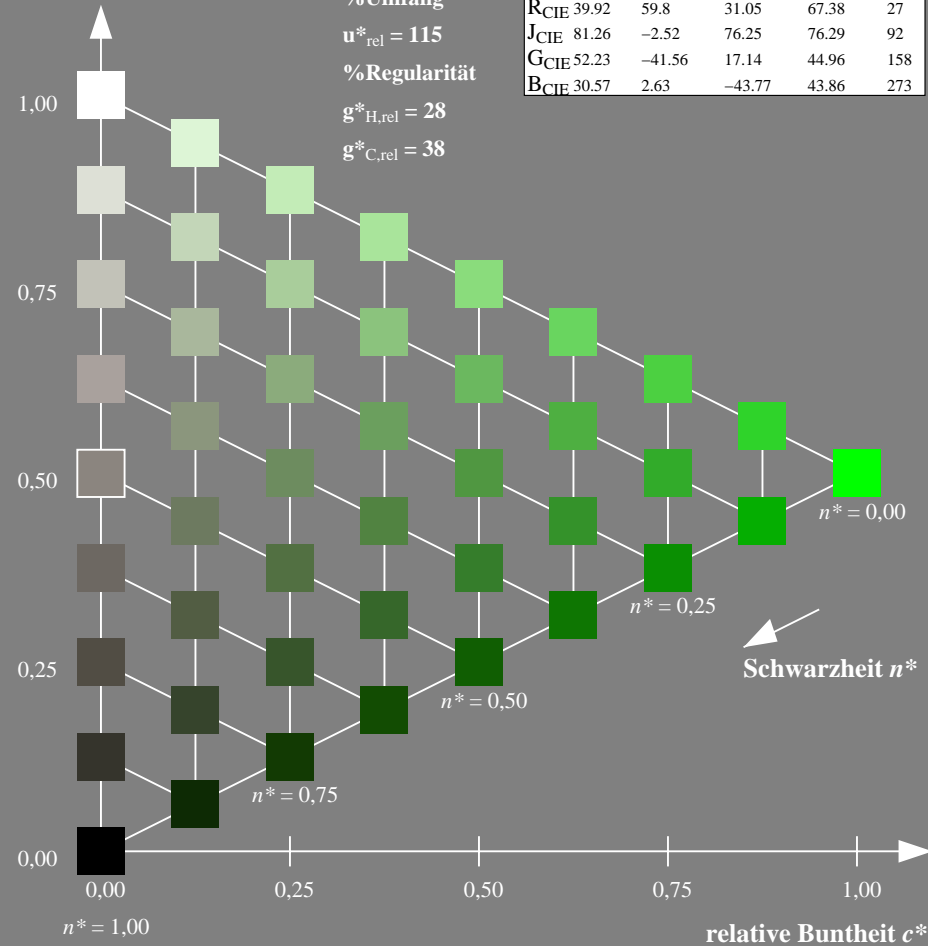
Dreiecks-Helligkeit  $t^*$



**FRS06; adaptierte CIELAB-Daten**

	$L^*=L^*_a$	$a^*_a$	$b^*_a$	$C^*_{ab,a}$	$h^*_{ab,a}$
O <sub>Ma</sub>	32.57	62.32	46.49	77.75	37
Y <sub>Ma</sub>	82.73	-3.16	113.99	114.03	92
L <sub>Ma</sub>	39.43	-61.79	45.84	76.95	143
C <sub>Ma</sub>	47.86	-26.79	-34.24	43.49	232
V <sub>Ma</sub>	10.16	55.12	-61.03	82.24	312
M <sub>Ma</sub>	34.5	80.68	-33.92	87.52	337
N <sub>Ma</sub>	6.25	0.0	0.0	0.0	0
W <sub>Ma</sub>	91.97	0.0	0.0	0.0	0
R <sub>CIE</sub>	39.92	59.8	31.05	67.38	27
J <sub>CIE</sub>	81.26	-2.52	76.25	76.29	92
G <sub>CIE</sub>	52.23	-41.56	17.14	44.96	158
B <sub>CIE</sub>	30.57	2.63	-43.77	43.86	273

%Umfang  
 $u^*_{rel} = 115$   
 %Regularität  
 $g^*_{H,rel} = 28$   
 $g^*_{C,rel} = 38$



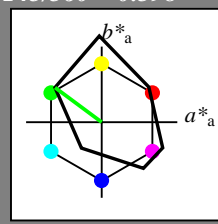
XG670-7, 9stufige Reihen für konstanten CIELAB Buntton 143/360 = 0.398 (links)

Ausgabe: Farbmétrisches Drucker-Reflektiv-System FRS06

für Buntton  $h^* = lab^*h = 143/360 = 0.398$   
 $lab^*tch$  und  $lab^*nch$

D65: Buntton L  
 LCH\*Ma: 39 77 143  
 olv\*Ma: 0.0 1.0 0.0

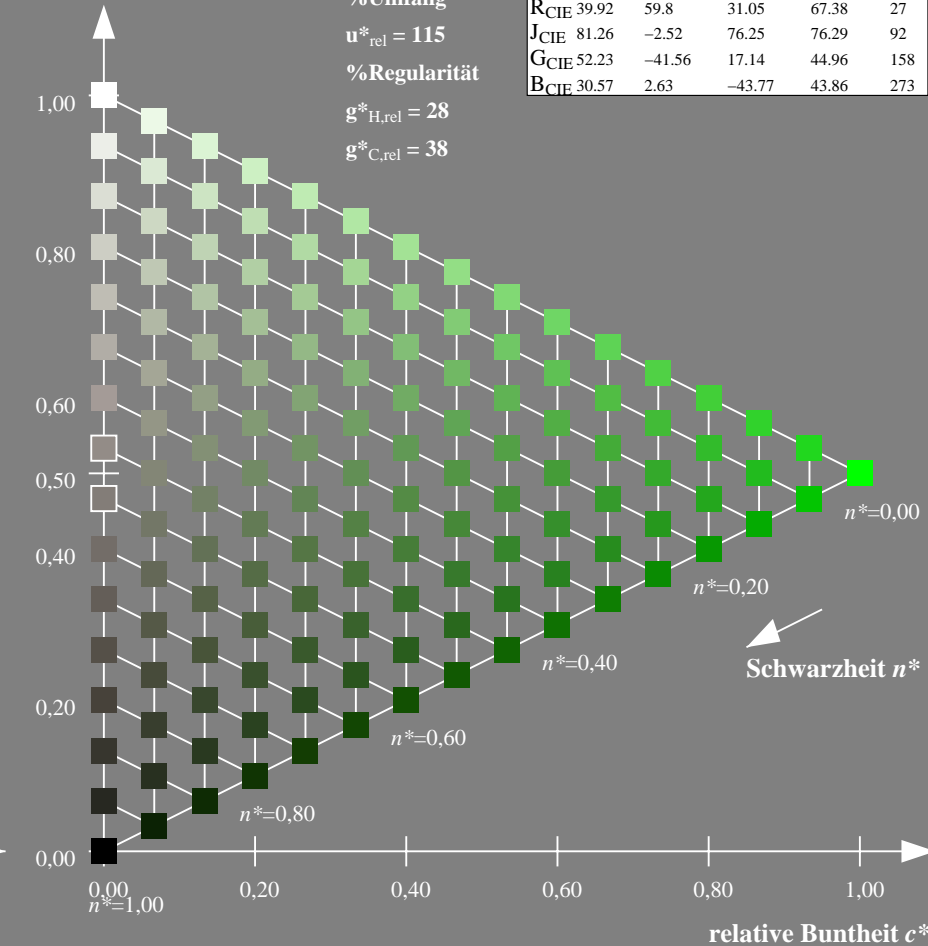
Dreiecks-Helligkeit  $t^*$



**FRS06; adaptierte CIELAB-Daten**

	$L^*=L^*_a$	$a^*_a$	$b^*_a$	$C^*_{ab,a}$	$h^*_{ab,a}$
O <sub>Ma</sub>	32.57	62.32	46.49	77.75	37
Y <sub>Ma</sub>	82.73	-3.16	113.99	114.03	92
L <sub>Ma</sub>	39.43	-61.79	45.84	76.95	143
C <sub>Ma</sub>	47.86	-26.79	-34.24	43.49	232
V <sub>Ma</sub>	10.16	55.12	-61.03	82.24	312
M <sub>Ma</sub>	34.5	80.68	-33.92	87.52	337
N <sub>Ma</sub>	6.25	0.0	0.0	0.0	0
W <sub>Ma</sub>	91.97	0.0	0.0	0.0	0
R <sub>CIE</sub>	39.92	59.8	31.05	67.38	27
J <sub>CIE</sub>	81.26	-2.52	76.25	76.29	92
G <sub>CIE</sub>	52.23	-41.56	17.14	44.96	158
B <sub>CIE</sub>	30.57	2.63	-43.77	43.86	273

%Umfang  
 $u^*_{rel} = 115$   
 %Regularität  
 $g^*_{H,rel} = 28$   
 $g^*_{C,rel} = 38$



16stufige Reihen für konstanten CIELAB Buntton 143/360 = 0.398 (rechts)

Eingabe: Farbmimetrisches Drucker-Reflektiv-System FRS06

für Buntton  $h^* = lab^*h = 232/360 = 0.644$

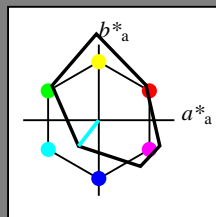
$lab^*tch$  und  $lab^*nch$

D65: Buntton C

LCH\*Ma: 48 43 232

olv\*Ma: 0.0 1.0 1.0

Dreiecks-Helligkeit  $t^*$



%Umfang

$u^*_{rel} = 115$

%Regularität

$g^*_{H,rel} = 28$

$g^*_{C,rel} = 38$

FRS06; adaptierte CIELAB-Daten

	$L^*=L^*_a$	$a^*_a$	$b^*_a$	$C^*_{ab,a}$	$h^*_{ab,a}$
O <sub>Ma</sub>	32.57	62.32	46.49	77.75	37
Y <sub>Ma</sub>	82.73	-3.16	113.99	114.03	92
L <sub>Ma</sub>	39.43	-61.79	45.84	76.95	143
C <sub>Ma</sub>	47.86	-26.79	-34.24	43.49	232
V <sub>Ma</sub>	10.16	55.12	-61.03	82.24	312
M <sub>Ma</sub>	34.5	80.68	-33.92	87.52	337
N <sub>Ma</sub>	6.25	0.0	0.0	0.0	0
W <sub>Ma</sub>	91.97	0.0	0.0	0.0	0
R <sub>CIE</sub>	39.92	59.8	31.05	67.38	27
J <sub>CIE</sub>	81.26	-2.52	76.25	76.29	92
G <sub>CIE</sub>	52.23	-41.56	17.14	44.96	158
B <sub>CIE</sub>	30.57	2.63	-43.77	43.86	273

Ausgabe: Farbmimetrisches Drucker-Reflektiv-System FRS06

für Buntton  $h^* = lab^*h = 232/360 = 0.644$

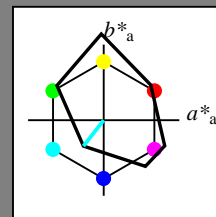
$lab^*tch$  und  $lab^*nch$

D65: Buntton C

LCH\*Ma: 48 43 232

olv\*Ma: 0.0 1.0 1.0

Dreiecks-Helligkeit  $t^*$



%Umfang

$u^*_{rel} = 115$

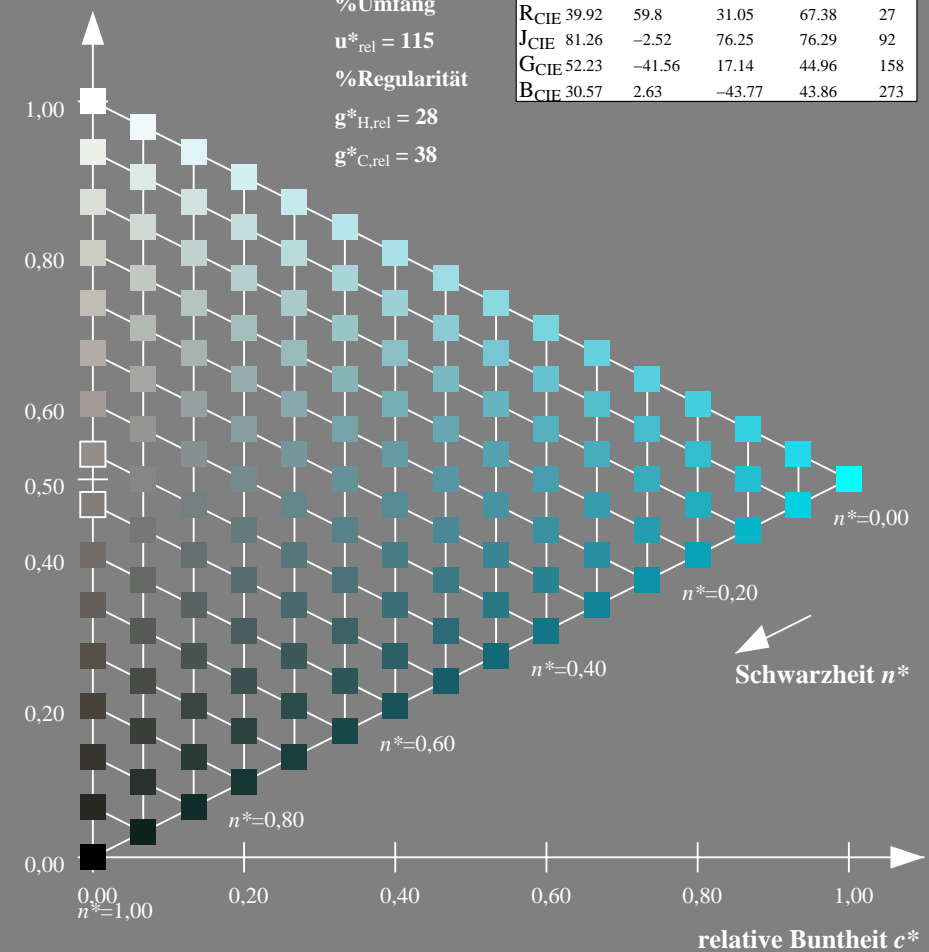
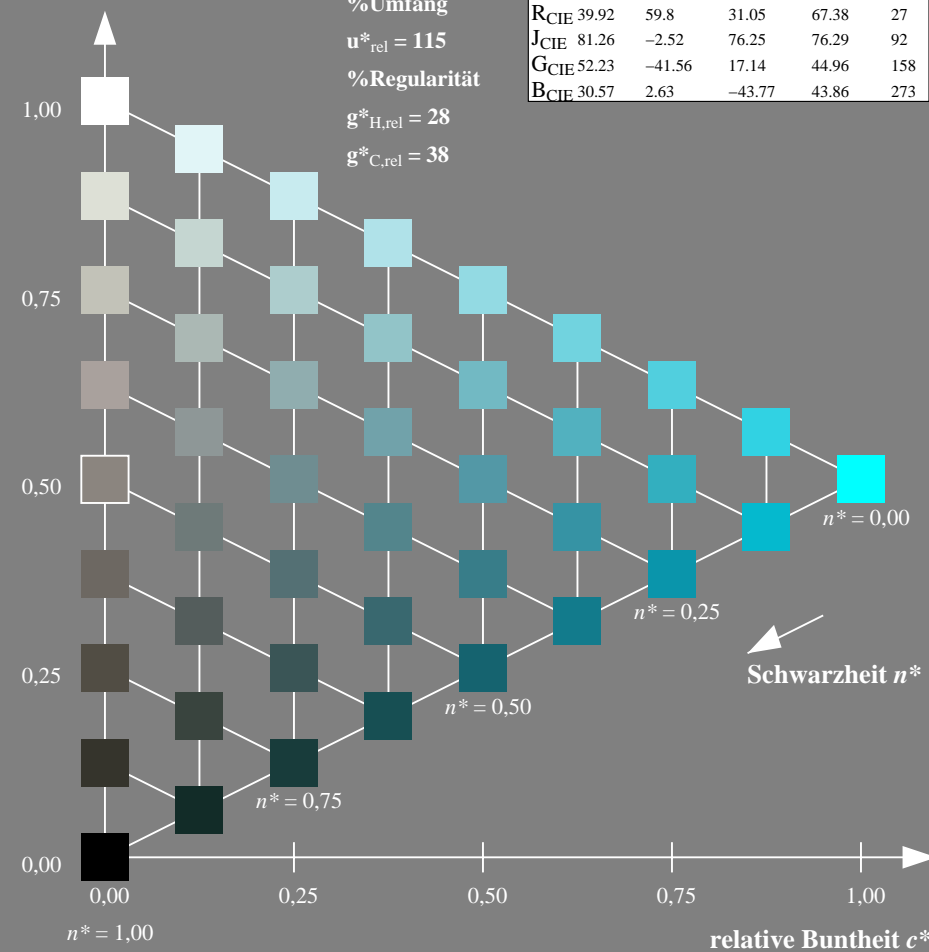
%Regularität

$g^*_{H,rel} = 28$

$g^*_{C,rel} = 38$

FRS06; adaptierte CIELAB-Daten

	$L^*=L^*_a$	$a^*_a$	$b^*_a$	$C^*_{ab,a}$	$h^*_{ab,a}$
O <sub>Ma</sub>	32.57	62.32	46.49	77.75	37
Y <sub>Ma</sub>	82.73	-3.16	113.99	114.03	92
L <sub>Ma</sub>	39.43	-61.79	45.84	76.95	143
C <sub>Ma</sub>	47.86	-26.79	-34.24	43.49	232
V <sub>Ma</sub>	10.16	55.12	-61.03	82.24	312
M <sub>Ma</sub>	34.5	80.68	-33.92	87.52	337
N <sub>Ma</sub>	6.25	0.0	0.0	0.0	0
W <sub>Ma</sub>	91.97	0.0	0.0	0.0	0
R <sub>CIE</sub>	39.92	59.8	31.05	67.38	27
J <sub>CIE</sub>	81.26	-2.52	76.25	76.29	92
G <sub>CIE</sub>	52.23	-41.56	17.14	44.96	158
B <sub>CIE</sub>	30.57	2.63	-43.77	43.86	273



XG670-7, 9stufige Reihen für konstanten CIELAB Buntton 232/360 = 0.644 (links)

16stufige Reihen für konstanten CIELAB Buntton 232/360 = 0.644 (rechts)

BAM-Prüfvorlage XG67; Farbmimetrik-Systeme FRS06 & FRS06 Eingabe:  $olv^*/rgb^* setrgbcolor$   
 D65: 9 und 16stufige Farbreihen für 10 Bunttöne Ausgabe:  $olv^*$  (TRI9)  $setrgbcolor$

BAM-Registrierung: 20061001-XG67/10L/L67G03FP.PS/.PDF BAM-Material: Code=rh4ta  
 Anwendung für Beurteilung und Messung von Drucker- oder Monitorssystemen  
 /XG67/ Form: 4/10, Serie: 1/1, Seite: 4  
 Seitenhang 1

Eingabe: Farbmétrisches Drucker-Reflektiv-System FRS06

für Buntton  $h^* = lab^*h = 312/360 = 0.867$

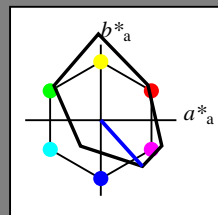
$lab^*tch$  und  $lab^*nch$

D65: Buntton V

LCH\*Ma: 10 82 312

olv\*Ma: 0.0 0.0 1.0

Dreiecks-Helligkeit  $t^*$



%Umfang

$u^*_{rel} = 115$

%Regularität

$g^*_{H,rel} = 28$

$g^*_{C,rel} = 38$

FRS06; adaptierte CIELAB-Daten

	$L^*=L^*_a$	$a^*_a$	$b^*_a$	$C^*_{ab,a}$	$h^*_{ab,a}$
OMa	32.57	62.32	46.49	77.75	37
YMa	82.73	-3.16	113.99	114.03	92
LMa	39.43	-61.79	45.84	76.95	143
CMa	47.86	-26.79	-34.24	43.49	232
VMa	10.16	55.12	-61.03	82.24	312
MMa	34.5	80.68	-33.92	87.52	337
NMa	6.25	0.0	0.0	0.0	0
WMa	91.97	0.0	0.0	0.0	0
RCIE	39.92	59.8	31.05	67.38	27
JCIE	81.26	-2.52	76.25	76.29	92
GCIE	52.23	-41.56	17.14	44.96	158
BCIE	30.57	2.63	-43.77	43.86	273

Ausgabe: Farbmétrisches Drucker-Reflektiv-System FRS06

für Buntton  $h^* = lab^*h = 312/360 = 0.867$

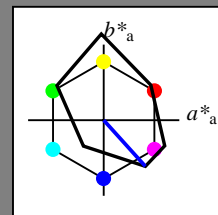
$lab^*tch$  und  $lab^*nch$

D65: Buntton V

LCH\*Ma: 10 82 312

olv\*Ma: 0.0 0.0 1.0

Dreiecks-Helligkeit  $t^*$



%Umfang

$u^*_{rel} = 115$

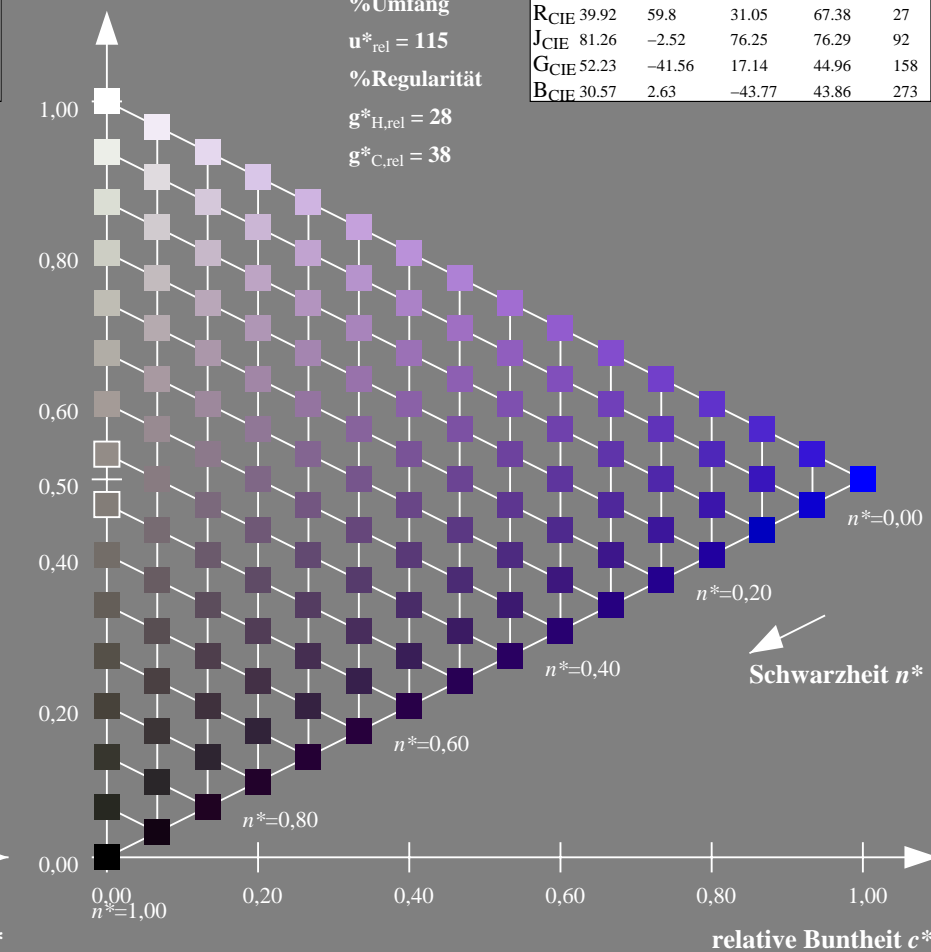
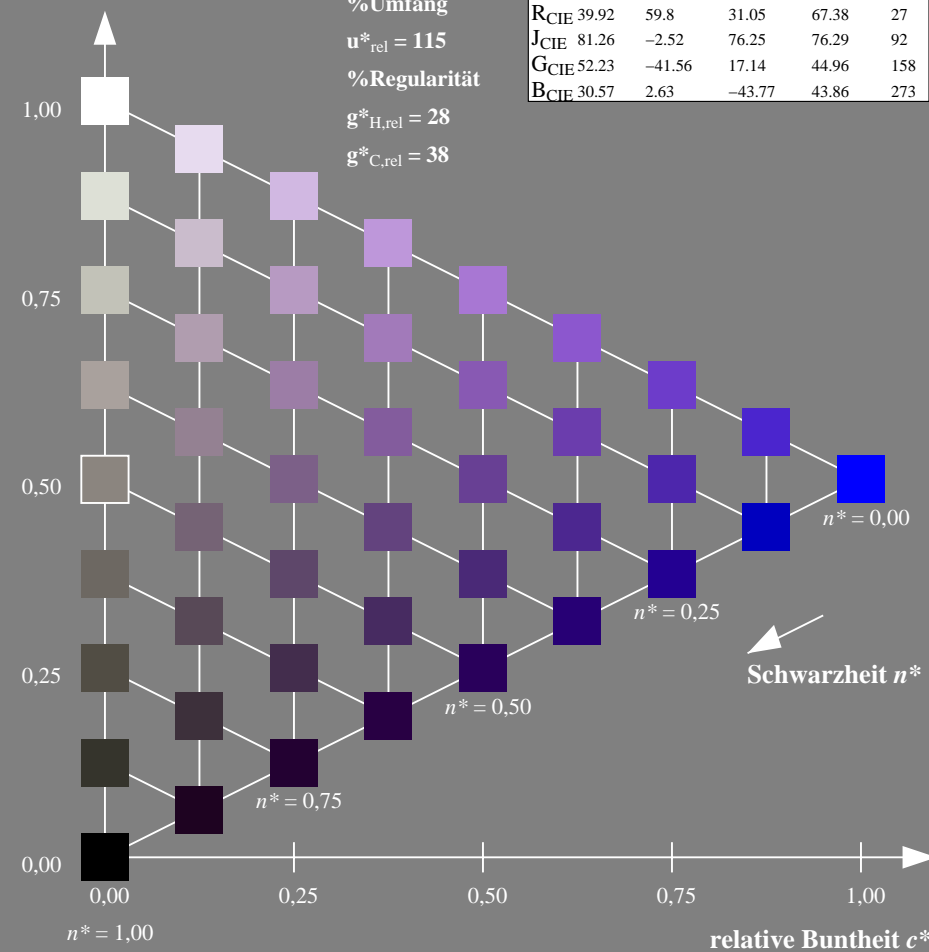
%Regularität

$g^*_{H,rel} = 28$

$g^*_{C,rel} = 38$

FRS06; adaptierte CIELAB-Daten

	$L^*=L^*_a$	$a^*_a$	$b^*_a$	$C^*_{ab,a}$	$h^*_{ab,a}$
OMa	32.57	62.32	46.49	77.75	37
YMa	82.73	-3.16	113.99	114.03	92
LMa	39.43	-61.79	45.84	76.95	143
CMa	47.86	-26.79	-34.24	43.49	232
VMa	10.16	55.12	-61.03	82.24	312
MMa	34.5	80.68	-33.92	87.52	337
NMa	6.25	0.0	0.0	0.0	0
WMa	91.97	0.0	0.0	0.0	0
RCIE	39.92	59.8	31.05	67.38	27
JCIE	81.26	-2.52	76.25	76.29	92
GCIE	52.23	-41.56	17.14	44.96	158
BCIE	30.57	2.63	-43.77	43.86	273



XG670-7, 9stufige Reihen für konstanten CIELAB Buntton 312/360 = 0.867 (links)

16stufige Reihen für konstanten CIELAB Buntton 312/360 = 0.867 (rechts)

BAM-Prüfvorlage XG67; Farbmétrik-Systeme FRS06 & FRS06 Eingabe:  $olv^*/rgb^* setrgbcolor$   
 D65: 9 und 16stufige Farbreihen für 10 Bunttöne Ausgabe:  $olv^*$  (TRI9)  $setrgbcolor$

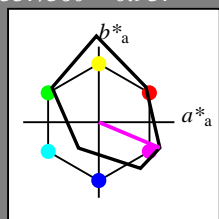
BAM-Registrierung: 20061001-XG67/10L/L67G04FP.PS/.PDF BAM-Material: Code=rh4ta  
 Anwendung für Beurteilung und Messung von Drucker- oder Monitorssystemen  
 /XG67/ Form: 5/10, Serie: 1/1, Seite: 5  
 Seitenhang 1

Eingabe: Farbmetrisches Drucker-Reflektiv-System FRS06

für Buntton  $h^* = lab^*h = 337/360 = 0.937$   
 $lab^*tch$  und  $lab^*nch$

D65: Buntton M  
 LCH\*Ma: 35 88 337  
 olv\*Ma: 1.0 0.0 1.0

Dreiecks-Helligkeit  $t^*$



%Umfang

$u^*_{rel} = 115$

%Regularität

$g^*_{H,rel} = 28$

$g^*_{C,rel} = 38$

FRS06; adaptierte CIELAB-Daten

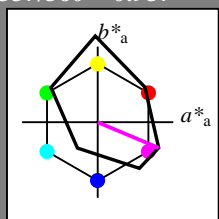
	$L^*=L^*_a$	$a^*_a$	$b^*_a$	$C^*_{ab,a}$	$h^*_{ab,a}$
O <sub>Ma</sub>	32.57	62.32	46.49	77.75	37
Y <sub>Ma</sub>	82.73	-3.16	113.99	114.03	92
L <sub>Ma</sub>	39.43	-61.79	45.84	76.95	143
C <sub>Ma</sub>	47.86	-26.79	-34.24	43.49	232
V <sub>Ma</sub>	10.16	55.12	-61.03	82.24	312
M <sub>Ma</sub>	34.5	80.68	-33.92	87.52	337
N <sub>Ma</sub>	6.25	0.0	0.0	0.0	0
W <sub>Ma</sub>	91.97	0.0	0.0	0.0	0
R <sub>CIE</sub>	39.92	59.8	31.05	67.38	27
J <sub>CIE</sub>	81.26	-2.52	76.25	76.29	92
G <sub>CIE</sub>	52.23	-41.56	17.14	44.96	158
B <sub>CIE</sub>	30.57	2.63	-43.77	43.86	273

Ausgabe: Farbmetrisches Drucker-Reflektiv-System FRS06

für Buntton  $h^* = lab^*h = 337/360 = 0.937$   
 $lab^*tch$  und  $lab^*nch$

D65: Buntton M  
 LCH\*Ma: 35 88 337  
 olv\*Ma: 1.0 0.0 1.0

Dreiecks-Helligkeit  $t^*$



%Umfang

$u^*_{rel} = 115$

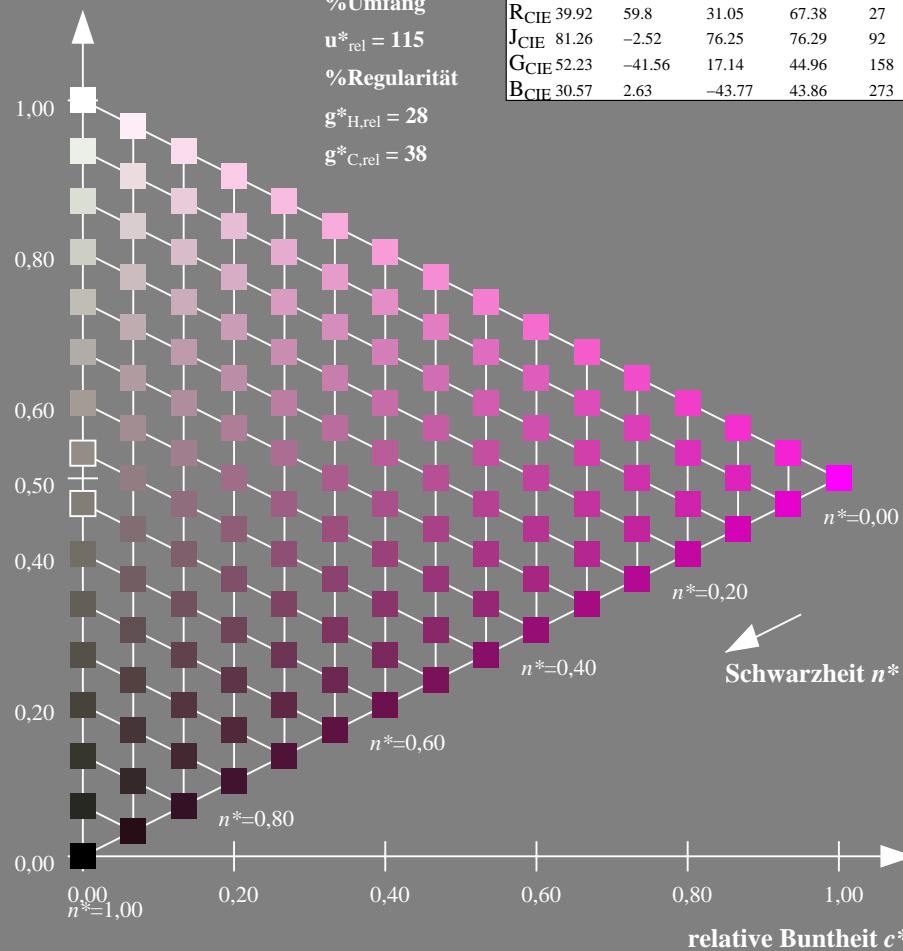
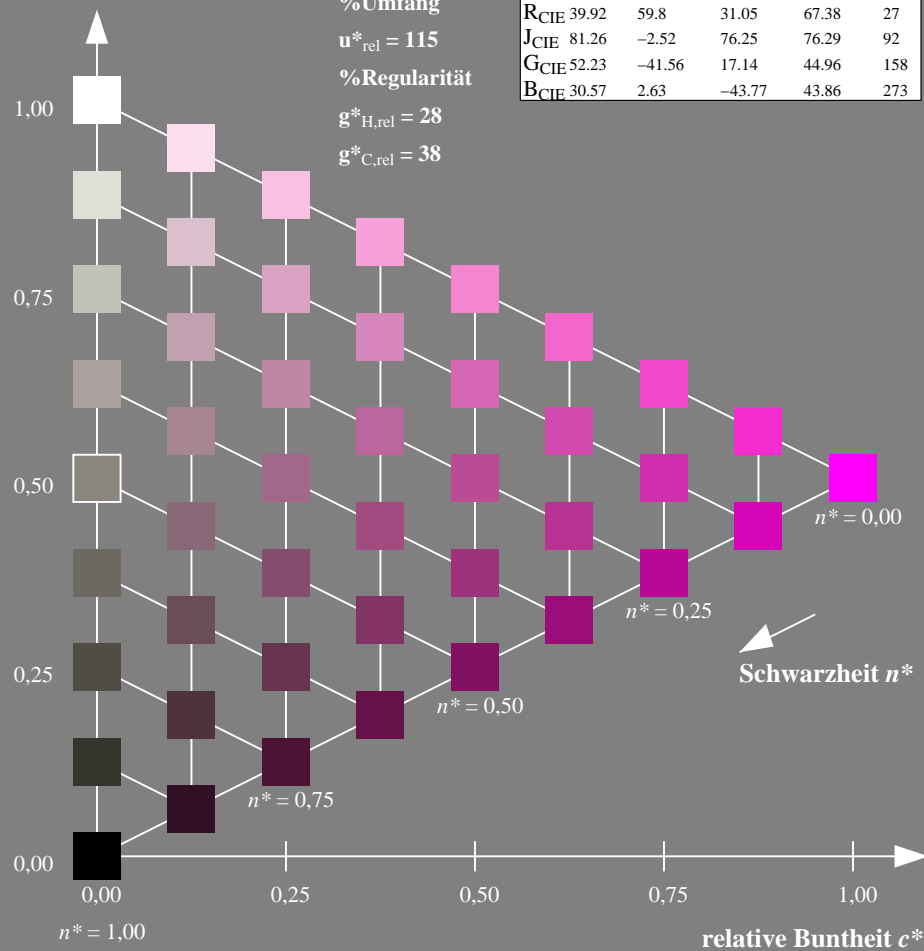
%Regularität

$g^*_{H,rel} = 28$

$g^*_{C,rel} = 38$

FRS06; adaptierte CIELAB-Daten

	$L^*=L^*_a$	$a^*_a$	$b^*_a$	$C^*_{ab,a}$	$h^*_{ab,a}$
O <sub>Ma</sub>	32.57	62.32	46.49	77.75	37
Y <sub>Ma</sub>	82.73	-3.16	113.99	114.03	92
L <sub>Ma</sub>	39.43	-61.79	45.84	76.95	143
C <sub>Ma</sub>	47.86	-26.79	-34.24	43.49	232
V <sub>Ma</sub>	10.16	55.12	-61.03	82.24	312
M <sub>Ma</sub>	34.5	80.68	-33.92	87.52	337
N <sub>Ma</sub>	6.25	0.0	0.0	0.0	0
W <sub>Ma</sub>	91.97	0.0	0.0	0.0	0
R <sub>CIE</sub>	39.92	59.8	31.05	67.38	27
J <sub>CIE</sub>	81.26	-2.52	76.25	76.29	92
G <sub>CIE</sub>	52.23	-41.56	17.14	44.96	158
B <sub>CIE</sub>	30.57	2.63	-43.77	43.86	273



XG670-7, 9stufige Reihen für konstanten CIELAB Buntton 337/360 = 0.937 (links)

16stufige Reihen für konstanten CIELAB Buntton 337/360 = 0.937 (rechts)

BAM-Prüfvorlage XG67; Farbmetrik-Systeme FRS06 & FRS06 Eingabe:  $olv^*/rgb^* setrgbcolor$   
 D65: 9 und 16stufige Farbreihen für 10 Bunttöne Ausgabe:  $olv^*$  (TRI9)  $setrgbcolor$

Siehe ähnliche Dateien: <http://www.ps.bam.de/XG67/>  
 Technische Information: <http://www.ps.bam.de> Version 2.1, io=1,1, CIELAB

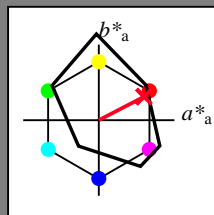
BAM-Registrierung: 20061001-XG67/10L/L67G05FP.PS/.PDF BAM-Material: Code=rh4ta  
 Anwendung für Beurteilung und Messung von Drucker- oder Monitorssystemen  
 /XG67/ Form: 6/10, Serie: 1/1, Seite: 6  
 Seitenhang 1

Eingabe: Farbmetrisches Drucker-Reflektiv-System FRS06

für Buntton  $h^* = lab^*h = 27/360 = 0.076$   
 $lab^*tch$  und  $lab^*nch$

D65: Buntton R  
 LCH\*Ma: 33 73 27  
 olv\*Ma: 1.0 0.0 0.16

Dreiecks-Helligkeit  $t^*$



%Umfang

$u^*_{rel} = 115$

%Regularität

$g^*_{H,rel} = 28$

$g^*_{C,rel} = 38$

FRS06; adaptierte CIELAB-Daten

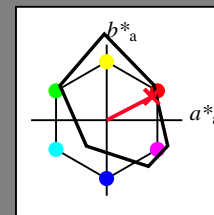
	$L^*=L^*_a$	$a^*_a$	$b^*_a$	$C^*_{ab,a}$	$h^*_{ab,a}$
O <sub>Ma</sub>	32.57	62.32	46.49	77.75	37
Y <sub>Ma</sub>	82.73	-3.16	113.99	114.03	92
L <sub>Ma</sub>	39.43	-61.79	45.84	76.95	143
C <sub>Ma</sub>	47.86	-26.79	-34.24	43.49	232
V <sub>Ma</sub>	10.16	55.12	-61.03	82.24	312
M <sub>Ma</sub>	34.5	80.68	-33.92	87.52	337
N <sub>Ma</sub>	6.25	0.0	0.0	0.0	0
W <sub>Ma</sub>	91.97	0.0	0.0	0.0	0
R <sub>CIE</sub>	39.92	59.8	31.05	67.38	27
J <sub>CIE</sub>	81.26	-2.52	76.25	76.29	92
G <sub>CIE</sub>	52.23	-41.56	17.14	44.96	158
B <sub>CIE</sub>	30.57	2.63	-43.77	43.86	273

Ausgabe: Farbmetrisches Drucker-Reflektiv-System FRS06

für Buntton  $h^* = lab^*h = 27/360 = 0.076$   
 $lab^*tch$  und  $lab^*nch$

D65: Buntton R  
 LCH\*Ma: 33 73 27  
 olv\*Ma: 1.0 0.0 0.16

Dreiecks-Helligkeit  $t^*$



%Umfang

$u^*_{rel} = 115$

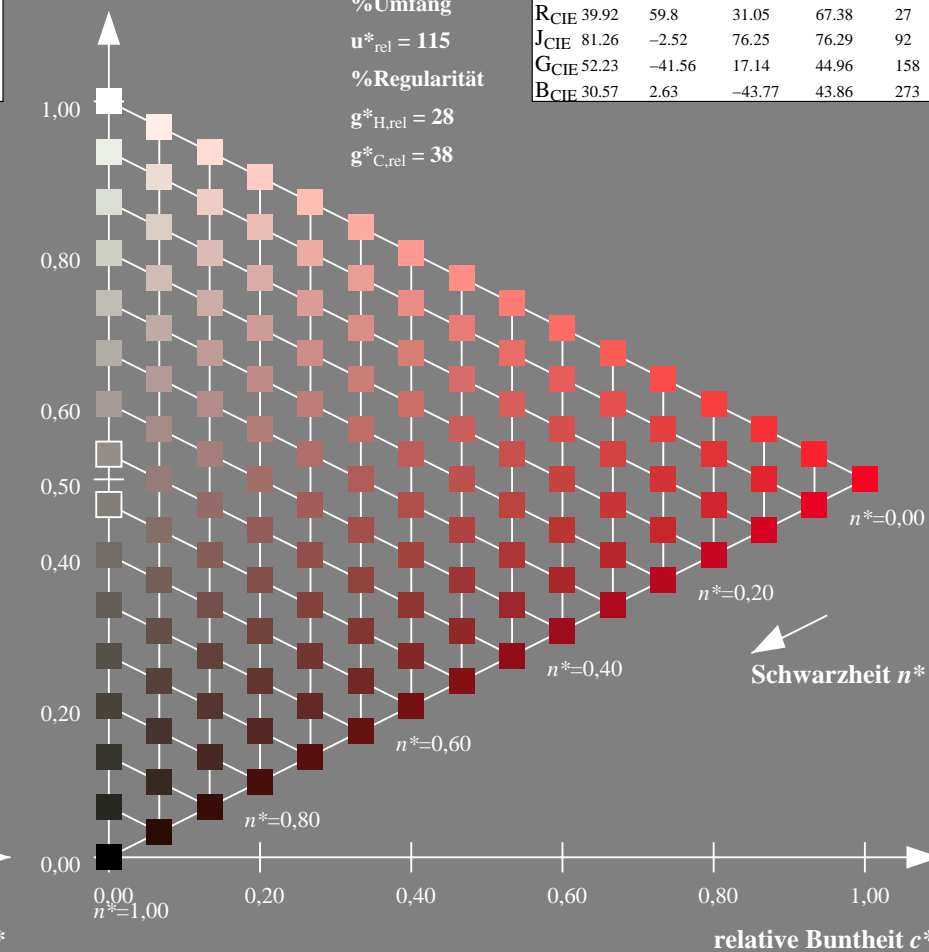
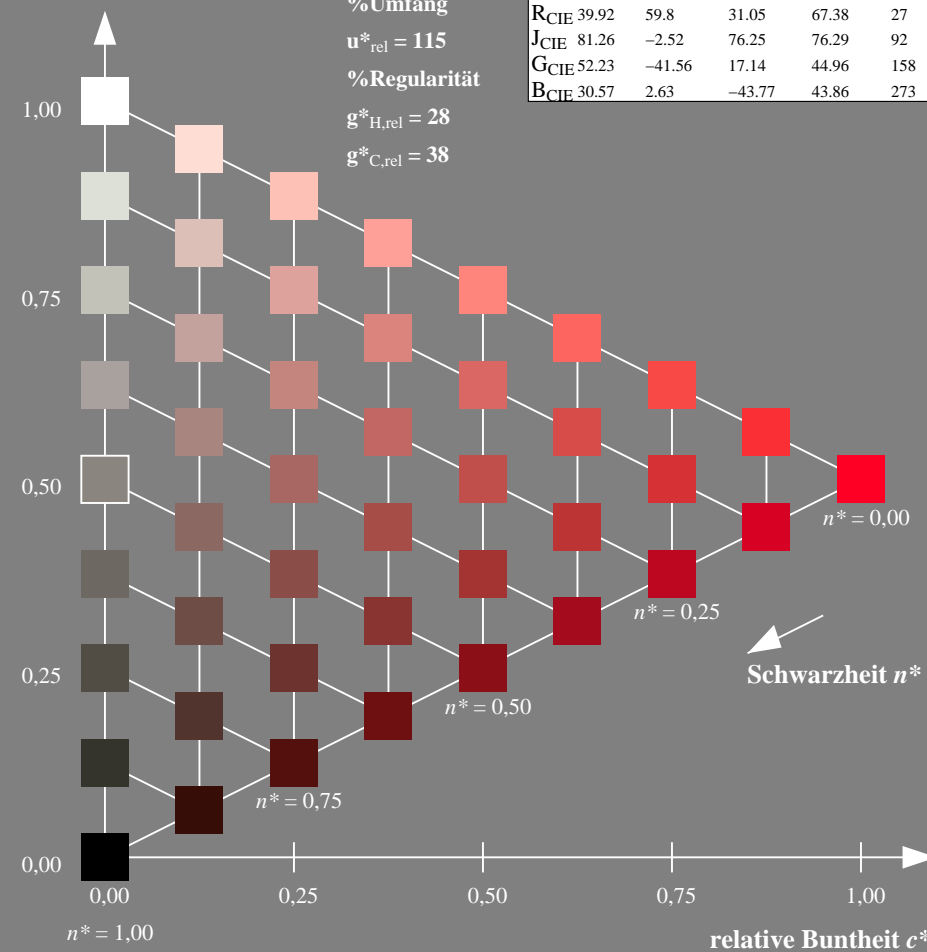
%Regularität

$g^*_{H,rel} = 28$

$g^*_{C,rel} = 38$

FRS06; adaptierte CIELAB-Daten

	$L^*=L^*_a$	$a^*_a$	$b^*_a$	$C^*_{ab,a}$	$h^*_{ab,a}$
O <sub>Ma</sub>	32.57	62.32	46.49	77.75	37
Y <sub>Ma</sub>	82.73	-3.16	113.99	114.03	92
L <sub>Ma</sub>	39.43	-61.79	45.84	76.95	143
C <sub>Ma</sub>	47.86	-26.79	-34.24	43.49	232
V <sub>Ma</sub>	10.16	55.12	-61.03	82.24	312
M <sub>Ma</sub>	34.5	80.68	-33.92	87.52	337
N <sub>Ma</sub>	6.25	0.0	0.0	0.0	0
W <sub>Ma</sub>	91.97	0.0	0.0	0.0	0
R <sub>CIE</sub>	39.92	59.8	31.05	67.38	27
J <sub>CIE</sub>	81.26	-2.52	76.25	76.29	92
G <sub>CIE</sub>	52.23	-41.56	17.14	44.96	158
B <sub>CIE</sub>	30.57	2.63	-43.77	43.86	273



XG670-7, 9stufige Reihen für konstanten CIELAB Buntton 27/360 = 0.076 (links)

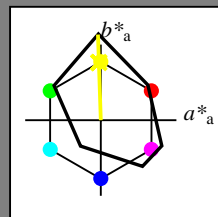
16stufige Reihen für konstanten CIELAB Buntton 27/360 = 0.076 (rechts)

Eingabe: Farbmétrisches Drucker-Reflektiv-System FRS06

für Buntton  $h^* = lab^*h = 92/360 = 0.255$   
 $lab^*tch$  und  $lab^*nch$

D65: Buntton J  
 LCH\*Ma: 82 113 92  
 olv\*Ma: 0.99 1.0 0.0

Dreiecks-Helligkeit  $t^*$



%Umfang

$u^*_{rel} = 115$

%Regularität

$g^*_{H,rel} = 28$

$g^*_{C,rel} = 38$

FRS06; adaptierte CIELAB-Daten

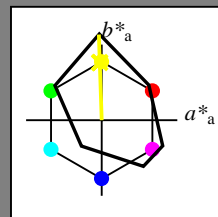
	$L^*=L^*_a$	$a^*_a$	$b^*_a$	$C^*_{ab,a}$	$h^*_{ab,a}$
O <sub>Ma</sub>	32.57	62.32	46.49	77.75	37
Y <sub>Ma</sub>	82.73	-3.16	113.99	114.03	92
L <sub>Ma</sub>	39.43	-61.79	45.84	76.95	143
C <sub>Ma</sub>	47.86	-26.79	-34.24	43.49	232
V <sub>Ma</sub>	10.16	55.12	-61.03	82.24	312
M <sub>Ma</sub>	34.5	80.68	-33.92	87.52	337
N <sub>Ma</sub>	6.25	0.0	0.0	0.0	0
W <sub>Ma</sub>	91.97	0.0	0.0	0.0	0
R <sub>CIE</sub>	39.92	59.8	31.05	67.38	27
J <sub>CIE</sub>	81.26	-2.52	76.25	76.29	92
G <sub>CIE</sub>	52.23	-41.56	17.14	44.96	158
B <sub>CIE</sub>	30.57	2.63	-43.77	43.86	273

Ausgabe: Farbmétrisches Drucker-Reflektiv-System FRS06

für Buntton  $h^* = lab^*h = 92/360 = 0.255$   
 $lab^*tch$  und  $lab^*nch$

D65: Buntton J  
 LCH\*Ma: 82 113 92  
 olv\*Ma: 0.99 1.0 0.0

Dreiecks-Helligkeit  $t^*$



%Umfang

$u^*_{rel} = 115$

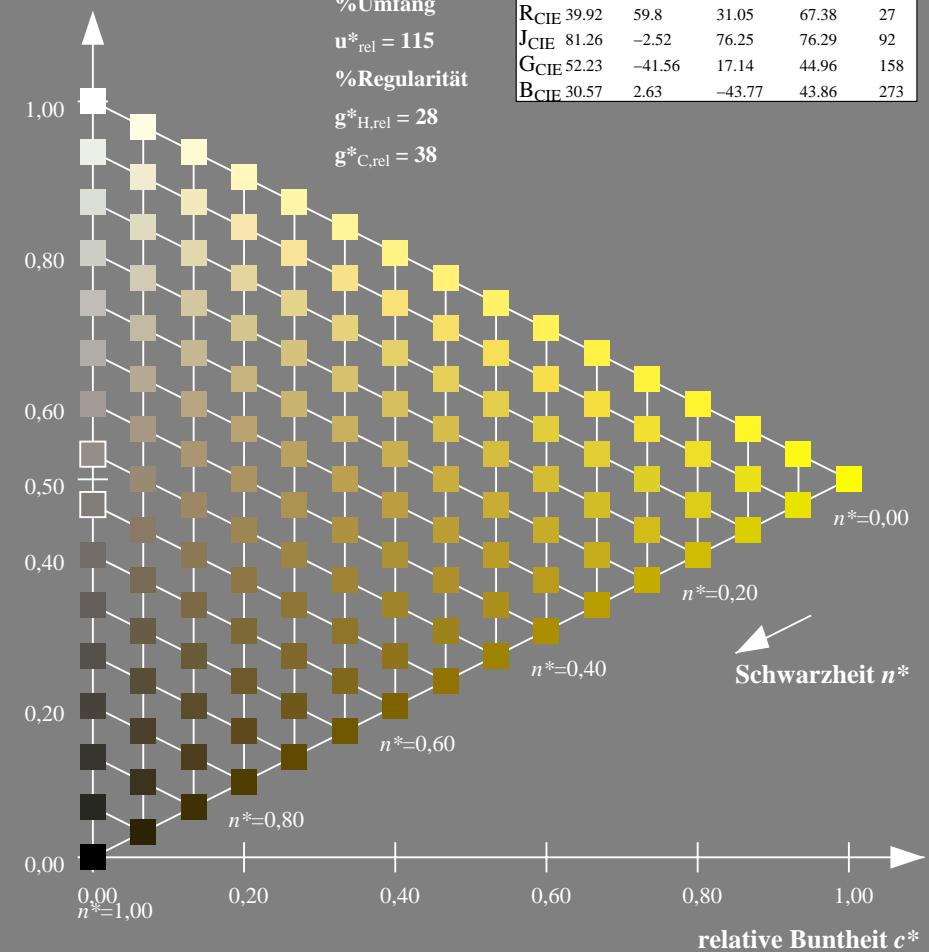
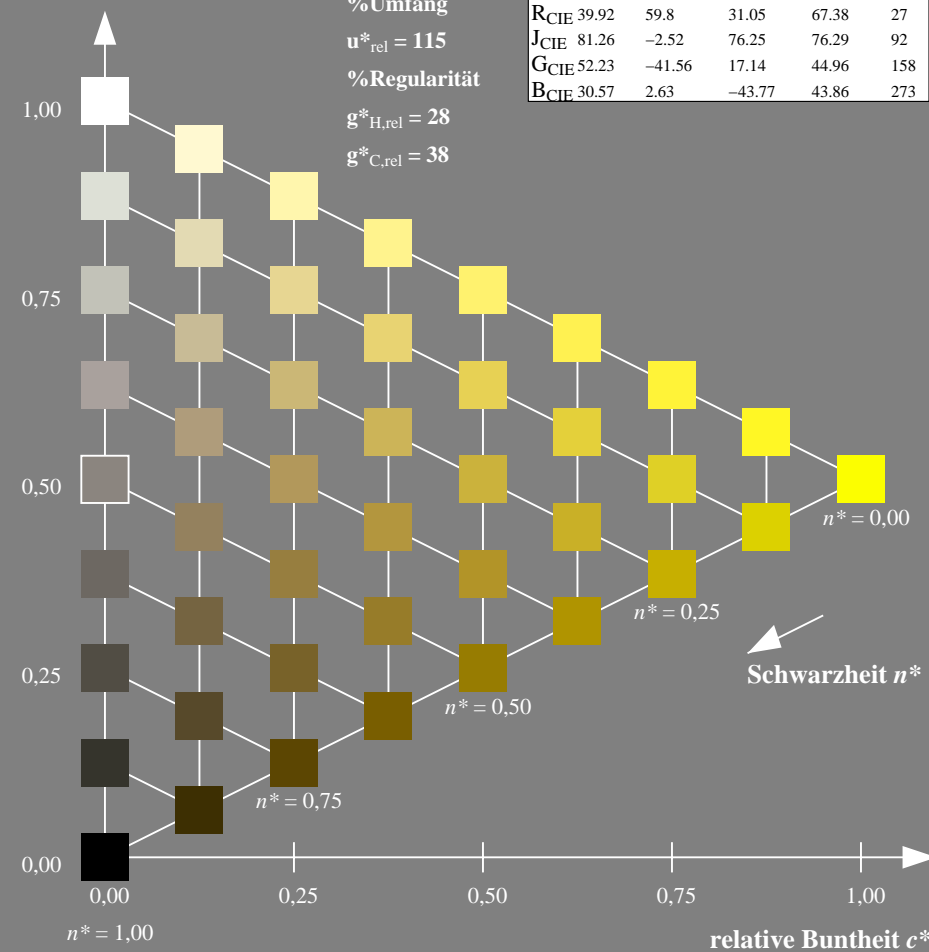
%Regularität

$g^*_{H,rel} = 28$

$g^*_{C,rel} = 38$

FRS06; adaptierte CIELAB-Daten

	$L^*=L^*_a$	$a^*_a$	$b^*_a$	$C^*_{ab,a}$	$h^*_{ab,a}$
O <sub>Ma</sub>	32.57	62.32	46.49	77.75	37
Y <sub>Ma</sub>	82.73	-3.16	113.99	114.03	92
L <sub>Ma</sub>	39.43	-61.79	45.84	76.95	143
C <sub>Ma</sub>	47.86	-26.79	-34.24	43.49	232
V <sub>Ma</sub>	10.16	55.12	-61.03	82.24	312
M <sub>Ma</sub>	34.5	80.68	-33.92	87.52	337
N <sub>Ma</sub>	6.25	0.0	0.0	0.0	0
W <sub>Ma</sub>	91.97	0.0	0.0	0.0	0
R <sub>CIE</sub>	39.92	59.8	31.05	67.38	27
J <sub>CIE</sub>	81.26	-2.52	76.25	76.29	92
G <sub>CIE</sub>	52.23	-41.56	17.14	44.96	158
B <sub>CIE</sub>	30.57	2.63	-43.77	43.86	273



XG670-7, 9stufige Reihen für konstanten CIELAB Buntton 92/360 = 0.255 (links)

16stufige Reihen für konstanten CIELAB Buntton 92/360 = 0.255 (rechts)

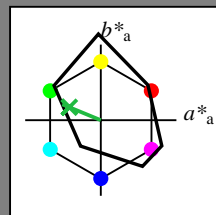


Eingabe: Farbmétrisches Drucker-Reflektiv-System FRS06

für Buntton  $h^* = lab^*h = 158/360 = 0.438$   
 $lab^*tch$  und  $lab^*nch$

D65: Buntton G  
 LCH\*Ma: 42 55 158  
 olv\*Ma: 0.0 1.0 0.31

Dreiecks-Helligkeit  $t^*$



%Umfang

$u^*_{rel} = 115$

%Regularität

$g^*_{H,rel} = 28$

$g^*_{C,rel} = 38$

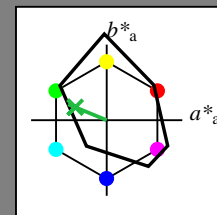
FRS06; adaptierte CIELAB-Daten					
	$L^*=L^*_a$	$a^*_a$	$b^*_a$	$C^*_{ab,a}$	$h^*_{ab,a}$
OMa	32.57	62.32	46.49	77.75	37
YMa	82.73	-3.16	113.99	114.03	92
LMa	39.43	-61.79	45.84	76.95	143
CMa	47.86	-26.79	-34.24	43.49	232
VMa	10.16	55.12	-61.03	82.24	312
MMa	34.5	80.68	-33.92	87.52	337
NMa	6.25	0.0	0.0	0.0	0
WMa	91.97	0.0	0.0	0.0	0
RCIE	39.92	59.8	31.05	67.38	27
JCIE	81.26	-2.52	76.25	76.29	92
GCIE	52.23	-41.56	17.14	44.96	158
BCIE	30.57	2.63	-43.77	43.86	273

Ausgabe: Farbmétrisches Drucker-Reflektiv-System FRS06

für Buntton  $h^* = lab^*h = 158/360 = 0.438$   
 $lab^*tch$  und  $lab^*nch$

D65: Buntton G  
 LCH\*Ma: 42 55 158  
 olv\*Ma: 0.0 1.0 0.31

Dreiecks-Helligkeit  $t^*$



%Umfang

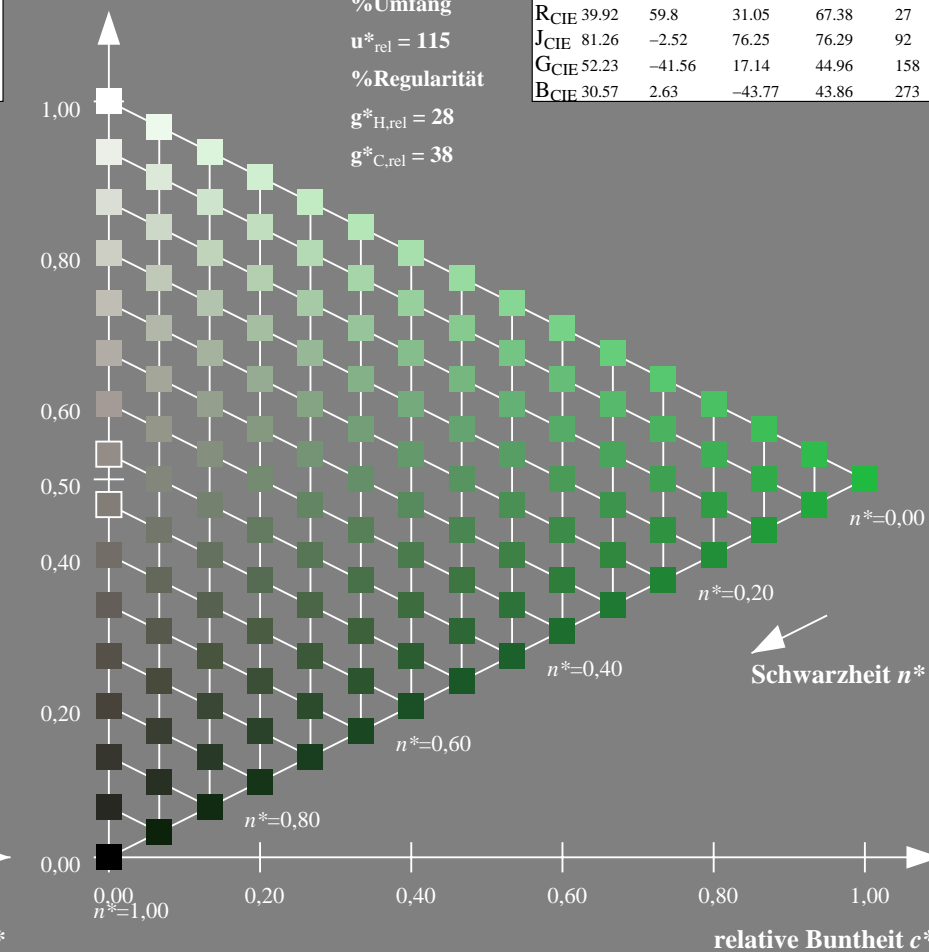
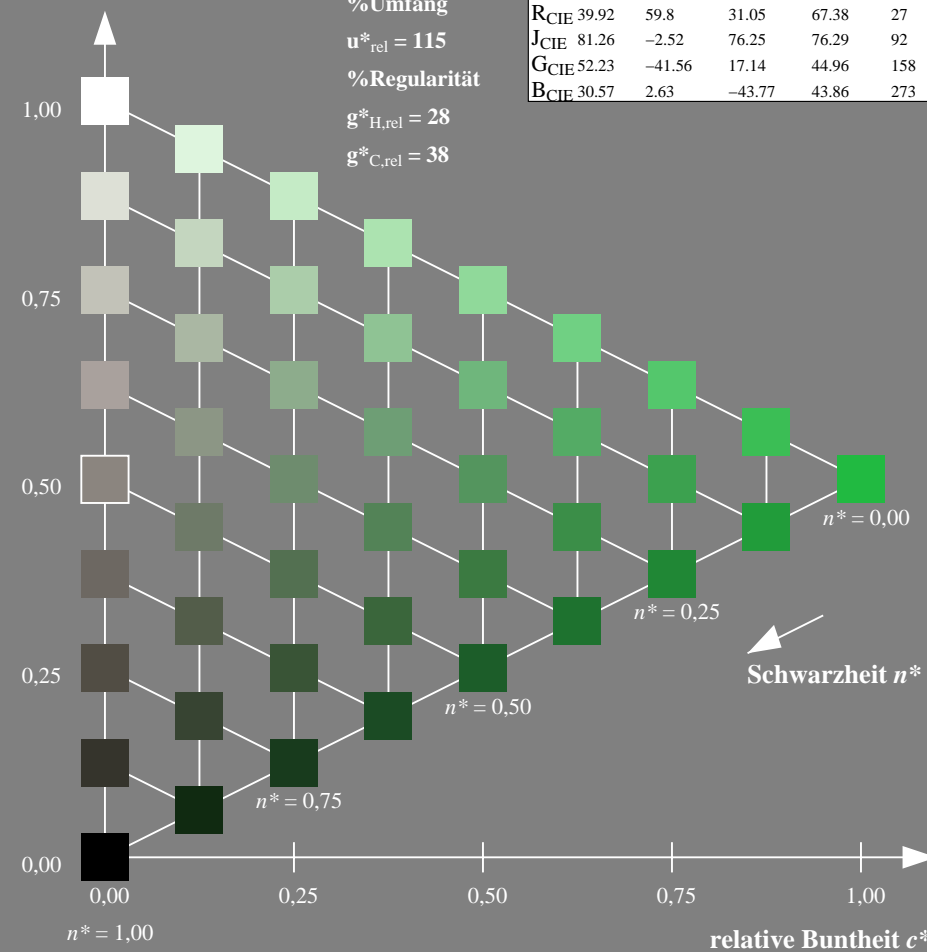
$u^*_{rel} = 115$

%Regularität

$g^*_{H,rel} = 28$

$g^*_{C,rel} = 38$

FRS06; adaptierte CIELAB-Daten					
	$L^*=L^*_a$	$a^*_a$	$b^*_a$	$C^*_{ab,a}$	$h^*_{ab,a}$
OMa	32.57	62.32	46.49	77.75	37
YMa	82.73	-3.16	113.99	114.03	92
LMa	39.43	-61.79	45.84	76.95	143
CMa	47.86	-26.79	-34.24	43.49	232
VMa	10.16	55.12	-61.03	82.24	312
MMa	34.5	80.68	-33.92	87.52	337
NMa	6.25	0.0	0.0	0.0	0
WMa	91.97	0.0	0.0	0.0	0
RCIE	39.92	59.8	31.05	67.38	27
JCIE	81.26	-2.52	76.25	76.29	92
GCIE	52.23	-41.56	17.14	44.96	158
BCIE	30.57	2.63	-43.77	43.86	273



XG670-7, 9stufige Reihen für konstanten CIELAB Buntton 158/360 = 0.438 (links)

16stufige Reihen für konstanten CIELAB Buntton 158/360 = 0.438 (rechts)

BAM-Prüfvorlage XG67; Farbmétrik-Systeme FRS06 & FRS06 Eingabe:  $olv^*/rgb^* setrgbcolor$   
 D65: 9 und 16stufige Farbreihen für 10 Bunttöne Ausgabe:  $olv^*$  (TRI9)  $setrgbcolor$

BAM-Registrierung: 20061001-XG67/10L/L67G08FP.PS/.PDF BAM-Material: Code=rh4ta  
 Anwendung für Beurteilung und Messung von Drucker- oder Monitorssystemen  
 /XG67/ Form: 9/10, Serie: 1/1, Seite: 9  
 Seitenhang 1

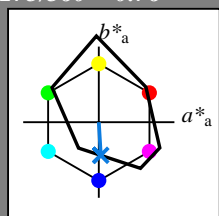
Siehe ähnliche Dateien: <http://www.ps.bam.de/XG67/>  
 Technische Information: <http://www.ps.bam.de> Version 2.1, io=1,1, CIELAB

Eingabe: Farbmetrisches Drucker-Reflektiv-System FRS06

für Buntton  $h^* = lab^*h = 273/360 = 0.76$   
 $lab^*tch$  und  $lab^*nch$

D65: Buntton B  
 LCH\*Ma: 34 44 273  
 olv\*Ma: 0.0 0.64 1.0

Dreiecks-Helligkeit  $t^*$



%Umfang  
 $u^*_{rel} = 115$   
 %Regularität  
 $g^*_{H,rel} = 28$   
 $g^*_{C,rel} = 38$

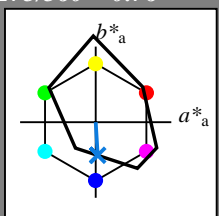
FRS06; adaptierte CIELAB-Daten					
	$L^*=L^*_a$	$a^*_a$	$b^*_a$	$C^*_{ab,a}$	$h^*_{ab,a}$
OMa	32.57	62.32	46.49	77.75	37
YMa	82.73	-3.16	113.99	114.03	92
LMa	39.43	-61.79	45.84	76.95	143
CMa	47.86	-26.79	-34.24	43.49	232
VMa	10.16	55.12	-61.03	82.24	312
MMa	34.5	80.68	-33.92	87.52	337
NMa	6.25	0.0	0.0	0.0	0
WMa	91.97	0.0	0.0	0.0	0
RCIE	39.92	59.8	31.05	67.38	27
JCIE	81.26	-2.52	76.25	76.29	92
GCIE	52.23	-41.56	17.14	44.96	158
BCIE	30.57	2.63	-43.77	43.86	273

Ausgabe: Farbmetrisches Drucker-Reflektiv-System FRS06

für Buntton  $h^* = lab^*h = 273/360 = 0.76$   
 $lab^*tch$  und  $lab^*nch$

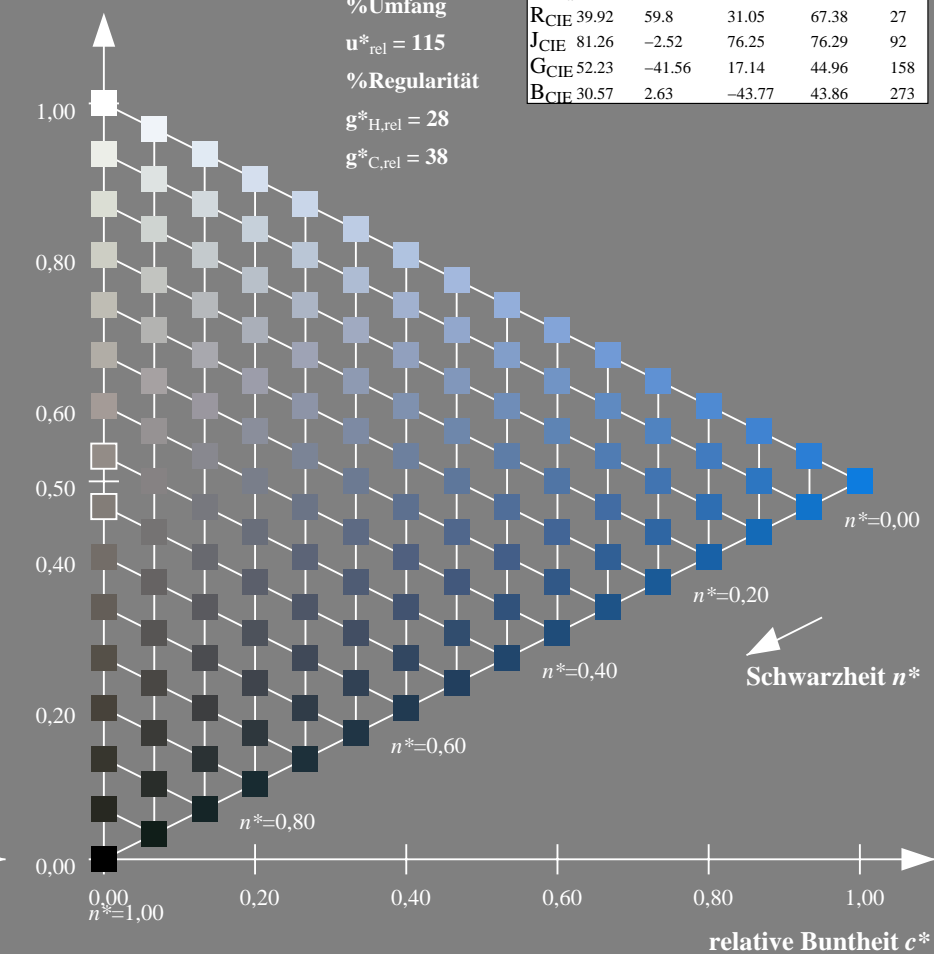
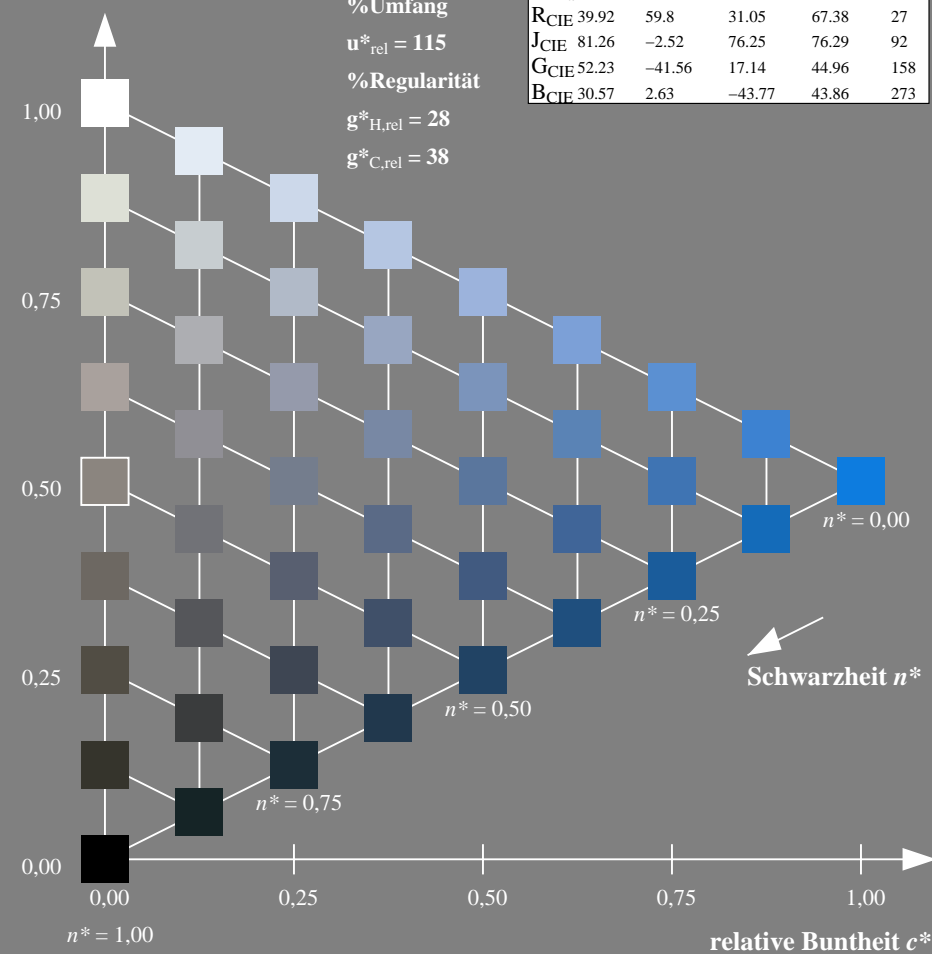
D65: Buntton B  
 LCH\*Ma: 34 44 273  
 olv\*Ma: 0.0 0.64 1.0

Dreiecks-Helligkeit  $t^*$



%Umfang  
 $u^*_{rel} = 115$   
 %Regularität  
 $g^*_{H,rel} = 28$   
 $g^*_{C,rel} = 38$

FRS06; adaptierte CIELAB-Daten					
	$L^*=L^*_a$	$a^*_a$	$b^*_a$	$C^*_{ab,a}$	$h^*_{ab,a}$
OMa	32.57	62.32	46.49	77.75	37
YMa	82.73	-3.16	113.99	114.03	92
LMa	39.43	-61.79	45.84	76.95	143
CMa	47.86	-26.79	-34.24	43.49	232
VMa	10.16	55.12	-61.03	82.24	312
MMa	34.5	80.68	-33.92	87.52	337
NMa	6.25	0.0	0.0	0.0	0
WMa	91.97	0.0	0.0	0.0	0
RCIE	39.92	59.8	31.05	67.38	27
JCIE	81.26	-2.52	76.25	76.29	92
GCIE	52.23	-41.56	17.14	44.96	158
BCIE	30.57	2.63	-43.77	43.86	273



XG670-7, 9stufige Reihen für konstanten CIELAB Buntton 273/360 = 0.76 (links)

16stufige Reihen für konstanten CIELAB Buntton 273/360 = 0.76 (rechts)

BAM-Registrierung: 20061001-XG67/10L/L67G09FP.PS/.PDF BAM-Material: Code=rh4ta  
 Anwendung für Beurteilung und Messung von Drucker- oder Monitorssystemen  
 /XG67/ Form: 1010Serie: 1/1, Seite: 10  
 Seite: 10